

# МАГНИТОЕ СОСТОЯНИЕ СТРУКТУРНО-РАССЛОЕННОГО АНИОН-ДЕФИЦИТНОГО МАНГАНИТА $\text{La}_{0.70}\text{Sr}_{0.30}\text{MnO}_{2.85}$

*C. В. Труханов<sup>a\*</sup>, A. В. Труханов<sup>a</sup>, A. Н. Васильев<sup>b</sup>, A. М. Балагуров<sup>c</sup>, Г. Шимчак<sup>d\*\*</sup>*

<sup>a</sup> Научно-практический центр Национальной академии наук Беларусь по материаловедению  
220072, Минск, Белоруссия

<sup>b</sup> Московский государственный университет им. М. В. Ломоносова  
119991, Москва, Россия

<sup>c</sup> Объединенный институт ядерных исследований  
141980, Дубна, Россия

<sup>d</sup> Institute of Physics, PAS  
Warsaw 02-668, Poland

Поступила в редакцию 30 ноября 2010 г.

Изложены результаты нейтронных дифракционных исследований соединения  $\text{La}_{0.70}\text{Sr}_{0.30}\text{MnO}_{2.85}$  и его поведения во внешнем магнитном поле. Установлено, что в температурном интервале 4–300 К в образце существуют две структурные перовскитные фазы, различающиеся по симметрии (группы  $R\bar{3}c$  и  $I4/mcm$ ). Причиной фазового расслоения является кластеризация вакансий кислорода. Измерены температурные (4–300 К) и полевые (0–140 кЭ) зависимости удельного магнитного момента. Установлено, что в нулевом внешнем поле магнитное состояние  $\text{La}_{0.70}\text{Sr}_{0.30}\text{MnO}_{2.85}$  представляет собой кластерное спиновое стекло, что является результатом фрустрации обменных взаимодействий  $\text{Mn}^{3+}-\text{O}-\text{Mn}^{3+}$ . Увеличение внешнего магнитного поля до 10 кЭ приводит к дроблению ферромагнитных кластеров, а затем к увеличению степени поляризации локальных спинов марганца и появлению дальнего ферромагнитного порядка. С увеличением магнитного поля до 140 кЭ температура магнитного упорядочения достигает 160 К. Проведен анализ причин структурного и магнитного фазового расслоения этого состава и механизма формирования его спин-стекольного магнитного состояния.

## 1. ВВЕДЕНИЕ

Сложные магнитные оксиды марганца  $\text{Ln}_{1-x}\text{A}_x\text{MnO}_3$  ( $\text{Ln}^{3+}$  и  $\text{A}^{2+}$  — редкоземельные ионы) продолжают оставаться одним из приоритетных объектов в области физики кристаллов в силу большого практического и фундаментального интереса к ним. В частности, составы  $\text{La}_{1-x}\text{Sr}_x\text{MnO}_{3-\delta}$  могут быть использованы в качестве катодного материала в твердооксидных топливных элементах. С фундаментальной физической точки зрения, в манганитах особенно интересна тесная взаимосвязь различного типа упорядочений — орбитального, зарядового и магнитного, которая широко обсуждается в литературе

(см., например, обзоры [1, 2]). Среди многих типов магнитного упорядочения, наблюдавшихся в манганитах, пожалуй, наименее изученным является состояние спинового стекла, основы теории которого были заложены в пионерской работе [3]. Фазовая диаграмма спинового стекла в координатах температура–энергия в рамках модели Изинга получена в работе [4]. Было показано, что внешнее магнитное поле, увеличивая свободную энергию системы, повышает степень поляризации магнитных моментов и вызывает переход из состояния спинового стекла в ферромагнитное состояние. При этом в матрице, характеризуемой в целом нулевым суммарным магнитным моментом, могут выделиться протяженные области с ненулевой намагниченностью (кластерное спиновое стекло). При воздействии внешнего магнитного поля температура, при которой измеренные в разных условиях

\*E-mail: truhanov@iftp.bas-net.by  
\*\*H. Szymczak

намагниченности начинают отличаться друг от друга, изменяется по степенному закону  $T_{rev} = a + bH^n$ , причем для объемного спинового стекла  $n = 2/3$ , а для кластерного  $n < 2/3$ .

Для мanganитов состояние спинового стекла наблюдается в составах на основе редкоземельных ионов с малым радиусом  $A$ -катиона,  $\langle r_A \rangle$ . Впервые в мanganитах это состояние было обнаружено в работе [5] в составе  $(La_{1-x}Tb_x)_{2/3}Ca_{1/3}MnO_3$  при  $0.25 < x < 0.85$  ( $\langle r_A \rangle$  изменяется от  $1.20 \text{ \AA}$  до  $1.31 \text{ \AA}$ ). Позже оно было обнаружено в составах  $Eu_{0.58}Sr_{0.42}MnO_3$  ( $\langle r_A \rangle = 1.20 \text{ \AA}$ ) [6],  $Dy_{0.70}Ca_{0.30}MnO_3$  ( $\langle r_A \rangle = 1.16 \text{ \AA}$ ) [7] и  $Y_{0.50}Ca_{0.50}MnO_3$  ( $\langle r_A \rangle = 1.21 \text{ \AA}$ ) [8].

В наших предыдущих работах [9, 10] по изучению соединения  $La_{1-x}Sr_xMnO_{3-\delta}$  было показано, что оно представляет собой яркий пример системы с доминированием двойного обмена и, следовательно, в наименьшей мере подвержено эффектам электрон-решеточных и кулоновских корреляций. Состав  $La_{0.70}Sr_{0.30}MnO_{2.85}$  с дефицитом по кислороду с ( $\langle r_A \rangle = 1.24 \text{ \AA}$ ) характерен тем, что он содержит только ионы трехвалентного марганца, что заметно упрощает анализ его магнитного состояния. В настоящей работе на основе новых данных проведен анализ причин структурного и магнитного фазового расслоения этого состава и механизма формирования его спин-стекольного магнитного состояния. Нам удалось показать, что вследствие кластеризации вакансий кислорода возникает конкуренция ферро- и антиферромагнитных взаимодействий между магнитными моментами  $Mn^{3+}$ . В результате образуется новое магнитное состояние — кластерное спиновое стекло, что отчетливо прослеживается в полевых зависимостях температур, характеризующих магнитные свойства этого соединения.

## 2. МЕТОДИКА ЭКСПЕРИМЕНТА

Процедура получения анион-дефицитного состава  $La_{0.70}Sr_{0.30}MnO_{2.85}$  (LSM-15) приведена в работе [11]. Кристаллическая структура образцов уточнялась по нейтронным дифракционным спектрам, измеренным на дифрактометре высокого разрешения ( $\Delta d/d \approx 0.001$ ) ФДВР, что позволило уверенно провести обработку дифракционных спектров, содержащих вклад двух сосуществующих кристаллических фаз. ФДВР действует на импульсном реакторе ИБР-2 в Дубне, используя обратный метод времени пролета [12].

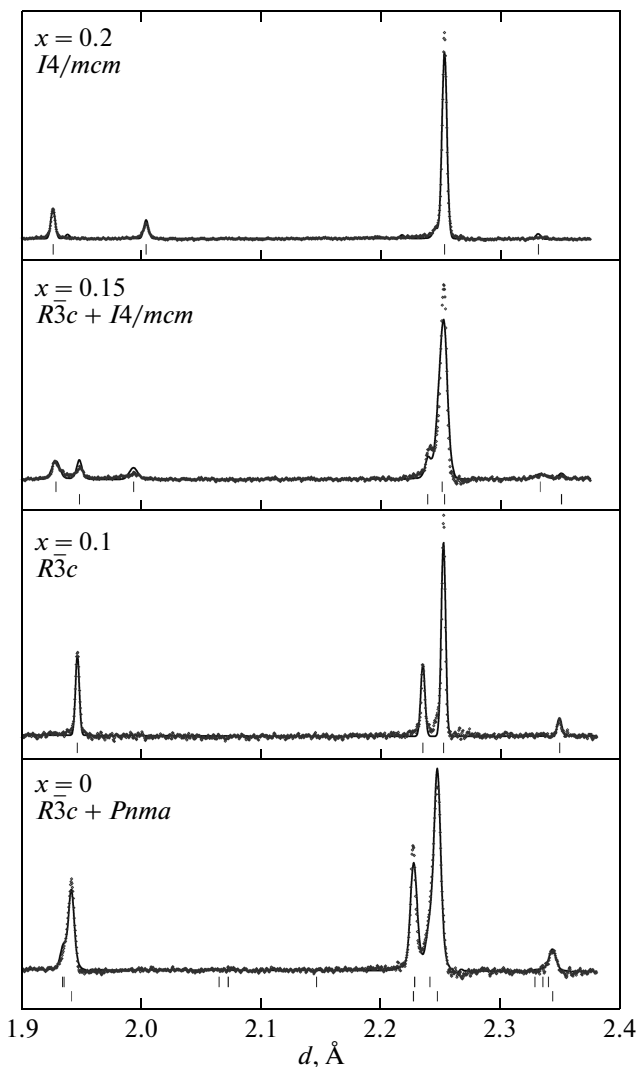
Исследования удельного магнитного момента были выполнены с помощью универсальной криогенной высокополевой измерительной системы (Liquid Helium Free High Field Measurement System by Cryogenic Ltd, London, UK) в интервале температур 4–310 К и полей 0–140 кЭ. Были выполнены измерения в зависимости от температуры в разных полях в режиме отогрева после охлаждения без поля (ZFC) и в поле (FC). Измерения магнитного момента в режиме полевого охлаждения (FC) были выполнены в прямом и обратном направлениях изменения температуры. Температура замерзания магнитных моментов ферромагнитных кластеров ( $T_f$ ) определялась как температура, соответствующая максимуму ZFC-кривой. Температуры начала расходимости ZFC- и FC-кривых при возрастании ( $T_{rev}$ ) и уменьшении ( $T_x$ ) температуры определялись в точках, для которых различия превышали 3 %. Температура магнитного упорядочения ( $T_m$ ) определялась по температурной зависимости FC-кривой как точка перегиба, т. е. как точка минимума производной FC-кривой по температуре. Спонтанный магнитный момент ( $\sigma_s$ ), приходящийся на один катион марганца, был определен линейной экстраполяцией полевой зависимости магнитного момента при нулевом поле.

Обработка нейтронных дифракционных спектров для получения структурных данных проводилась методом Ритвельда с помощью программы MRIA [13]. Анализ магнитных данных и численные расчеты выполнены с помощью программы Origin 7.5. Экстраполяционные кривые получены по методу наименьших квадратов.

## 3. ЭКСПЕРИМЕНТАЛЬНЫЕ РЕЗУЛЬТАТЫ И ИХ ОБСУЖДЕНИЕ

### 3.1. Атомная структура

Ранее нами было установлено, что увеличение концентрации вакансий кислорода в  $La_{0.70}Sr_{0.30}MnO_{3-x}$  приводит к его структурной перестройке [14]. Так, кристаллическая структура стехиометрического состава ( $x = 0$ ) соответствует ромбодиэдральной пространственной группе  $R\bar{3}c$  с небольшой (около 10 %) примесью ромбодиэдральной фазы  $Pnma$ . При увеличении  $x$  до 0.1 структура становится чисто ромбодиэдральной, а при  $x = 0.15$  дополнительно возникает фаза с тетрагональной (пространственная группа  $I4/mcm$ ) структурой. Наконец, при  $x = 0.2$  остается только тетрагональная модификация структуры. На рис. 1 показан



**Рис. 1.** Участок нейтронных дифракционных спектров составов  $\text{La}_{0.70}\text{Sr}_{0.30}\text{MnO}_{3-x}$ , иллюстрирующий структурные переходы при увеличении дефицита кислорода. Показаны экспериментальные точки, проведенная через них расчетная кривая и положения брэгговских рефлексов. Приведены значения  $x$  и пространственные группы существующих фаз

участок дифракционного спектра для всех составов, иллюстрирующий происходящие структурные изменения.

Таким образом, состав  $\text{La}_{0.70}\text{Sr}_{0.30}\text{MnO}_{2.85}$  состоит из двух (ромбоэдрической и тетрагональной) перовскитоподобных фаз, занимающих примерно равные объемные доли образца. Вакансии кислорода обнаруживаются в основном в тетрагональной фазе в позиции  $\text{O}_2$  с координатами близкими к  $(1/4,$

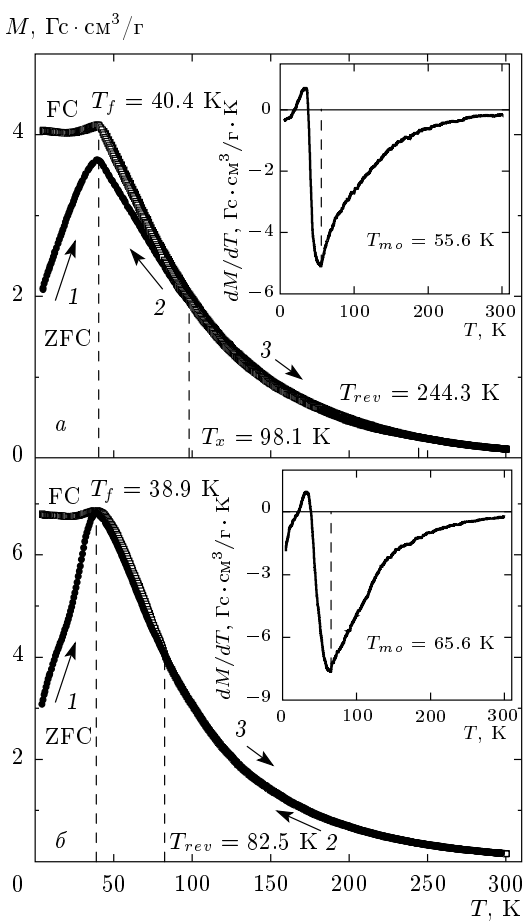
$3/4, 0)$ , т. е. в основном именно эта фаза является анион-дефицитной. Считается, что причиной такого типа фазового расслоения является кластеризация вакансий кислорода. Для перовскитов это явление давно изучается и хорошо моделируется (см., например, [15]). По сути, оно во многом аналогично явлению кластеризации избыточного кислорода, например, в соединении  $\text{La}_2\text{CuO}_{4+y}$ , в котором для некоторой области концентраций  $y_0$  происходит мезоскопическое расслоение на две структурные фазы с  $y \approx 0$  и  $y > y_0$  [16].

Появление вакансий кислорода в перовскитах может приводить к упорядочению катионов в  $A$ -подрешетке, что сильно изменяет их магнитные и магнитотранспортные свойства [17]. Упорядочение катионов  $\text{Pr}^{3+}$  и  $\text{Ba}^{2+}$  в мanganите  $\text{Pr}_{0.50}\text{Ba}_{0.50}\text{MnO}_3$  приводит к значительному увеличению критических температур фазовых переходов. Так, образец  $\text{PrBaMn}_2\text{O}_6$  с максимальной степенью упорядочения катионов является металлическим ферромагнетиком с температурой Кюри примерно 320 К, в то время как для полностью разупорядоченного образца  $T_C$  достигает лишь приблизительно 140 К. Образцы с промежуточной степенью порядка обладают двумя магнитными фазами. Чуть ниже  $T_C$  все образцы демонстрируют переход металл–диэлектрик и пик магнитосопротивления.

С уменьшением температуры до 10 К в нейтронных дифракционных спектрах образца  $\text{La}_{0.70}\text{Sr}_{0.30}\text{MnO}_{2.85}$  значимых изменений не наблюдается. В том числе в них нет признаков появления в образце ферро- или антиферромагнитного дальнего магнитного порядка, что согласуется с уже высказывавшейся гипотезой о формировании в нем состояния спинового стекла. Соотношение объемных долей структурных фаз также остается стабильным.

При комнатной температуре объем элементарной ячейки ромбоэдрической фазы  $\text{La}_{0.70}\text{Sr}_{0.30}\text{MnO}_{2.85}$ , приходящийся на одну формульную единицу, немногим меньше (на 0.27 %) объема ячейки тетрагональной фазы. Октаэдры  $\text{MnO}_6$ , регулярные в ромбоэдрической фазе, искажаются в тетрагональной фазе (удлиняется апикальное расстояние  $\text{Mn}-\text{O}1$  вдоль длинной оси), но отклонение от средней длины связи весьма невелико, примерно в три раза меньше, чем в  $\text{LaMnO}_3$ . Таким образом, в тетрагональной фазе присутствует кооперативный статический эффект Яна–Теллера, хотя и сравнительно слабо выраженный.

С уменьшением температуры структура обеих фаз практически не меняется. Единственным замет-



**Рис. 2.** Температурные зависимости удельного магнитного момента, измеренного в режимах ZFC и FC, при уменьшении и увеличении температуры в поле 50 Э (а) и 500 Э (б) для  $\text{La}_{0.70}\text{Sr}_{0.30}\text{MnO}_{2.85}$ . Смысл указанных характерных температур объяснен в тексте. Вставка демонстрирует температурную зависимость производной FC-кривой в режиме увеличения температуры

ным фактом является небольшое удлинение *c*-оси тетрагональной фазы (и, соответственно, расстояния Mn–O1), т. е. некоторое усиление эффекта Яна–Теллера.

### 3.2. Магнитные измерения

При выполнении измерений температурных зависимостей магнитного момента в различных магнитных полях было установлено, что весь интервал может быть условно разбит на слабые ( $0 \leq H \leq 10^4$  Э) и сильные ( $H > 10^4$  Э) поля. В поле 50 Э пик ZFC-кривой наблюдается при  $T_f \approx 40$  К (рис. 2а). Ниже этой температуры наблюдается значительное

различие в поведении ZFC- и FC-кривых. При измерении FC-кривой в режиме уменьшения температуры точка ее расходимости с ZFC-кривой фиксируется в области  $T_x \approx 98$  К, тогда как при увеличении температуры точка расходимости смещается к  $T_{rev} \approx 244$  К. FC-кривая, измеренная в режиме увеличения температуры, идет выше FC-кривой, измеренной в режиме уменьшения температуры, везде в интервале от  $T_f$  до  $T_{rev}$ . При  $T > 40$  К наблюдается очень размытый переход в параметрическое состояние, подобный переходу второго рода. Температура магнитного упорядочения, которая определялась из поведения производной FC-кривой в режиме увеличения температуры (вставка на рис. 2а), составляет  $T_{mo} \approx 55$  К. Она является хорошо определяемой величиной, характеризующей, кроме того, начало широкого температурного интервала перехода исследуемого вещества в параметрическое состояние. В точке минимума производной меняется характер поведения с температурой FC-кривой от «выгнутой вверх» к «выгнутой вниз», что соответствует переходу от ее быстрого убывания к медленному. Таким образом, температура магнитного упорядочения определяет окончание быстрого убывания магнитного момента с ростом температуры.

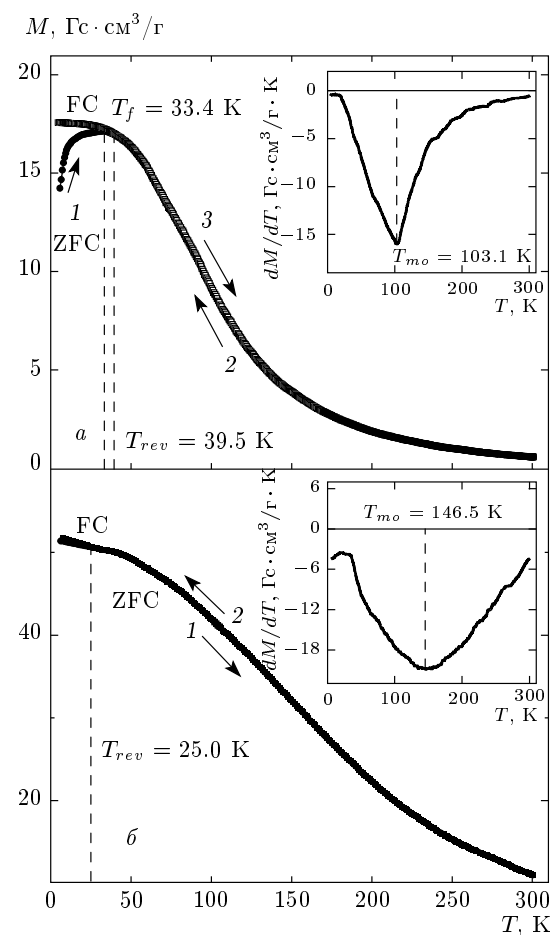
Результатами многочисленных экспериментальных исследований доказано, что в орбитально-разупорядоченном состоянии сверхобменное взаимодействие  $\text{Mn}^{3+}(6)-\text{O}-\text{Mn}^{3+}(6)$  для октаэдрической координации катионов марганца является положительным, тогда как для пентаздрической координации  $\text{Mn}^{3+}(5)-\text{O}-\text{Mn}^{3+}(5)$  оно отрицательно (см., например, [18, 19]), т. е. способствует соответственно параллельной или антипараллельной ориентации спинов. Конкуренция этих взаимодействий приводит к фрустрации обменных связей и образованию нового магнитного состояния — спинового стекла. Реализация такого механизма образования неоднородного магнитного состояния в случае  $\text{La}_{0.70}\text{Sr}_{0.30}\text{MnO}_{2.85}$  была подтверждена нами ранее на основе анализа обратной динамической восприимчивости [10], что позволило обнаружить обменные взаимодействия противоположных знаков.

В модельном представлении Бина–Ливингстона [20] существует связь среднего объема ферромагнитных включений в диа- или параметрической матрице  $\langle V \rangle$  с константой магнитной кристаллографической анизотропии  $\langle K \rangle$ , представляющей собой не что иное, как ее объемную плотность энергии, и критической температурой замерзания  $T_f$ ,  $\langle K \rangle \langle V \rangle = k_B T_f$ . Оценка среднего размера ферромагнитных кластеров дает величину около 10 нм

для  $T_f = 40$  К. При таком малом размере области с упорядоченными магнитными моментами заметить их вклад в нейтронный дифракционный спектр невозможно. Температура расходимости ZFC- и FC-кривых, измеренных в одинаковом режиме изменения температуры,  $T_{rev}$ , определяет максимальный размер ферромагнитного кластера, который в данном случае почти в шесть раз превышает средний размер. Наличие критической температуры расходимости  $T_x$  указывает на доминирование разупорядочивающего эффекта температуры над упорядочивающим эффектом магнитного поля. При охлаждении образца в нем присутствуют ферромагнитные кластеры с меньшими максимальными размерами, нежели в режиме нагрева. Это следует из того факта, что температуры начала расходимости ZFC- и FC-кривых при нагревании ( $T_{rev}$ ) и охлаждении ( $T_x$ ) разные, причем  $T_{rev} > T_x$ . Температурный гистерезис FC-кривых свидетельствует о высокой магнитной анизотропии обменных взаимодействий внутри ферромагнитных кластеров.

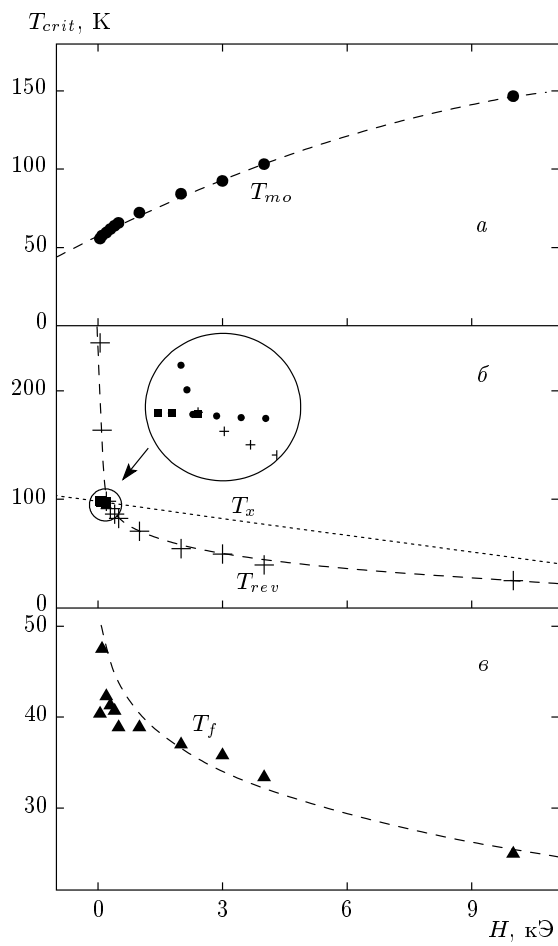
Факт температурного гистерезиса FC-кривых может указывать на фазовый переход первого рода. Однако плавный вид FC-кривых подобен переходу второго рода. Это противоречие может быть устранено с помощью критерия Банерджи [21]. Согласно критерию Банерджи угол наклона касательной к изотермам  $M^2(H/M)$  при  $T = \text{const}$  определяет порядок магнитного фазового перехода. Подробнее результаты этого анализа будут представлены ниже.

При увеличении поля до 200 Э поведение ZFC- и FC-кривых качественно не меняется, но происходит сдвиг характерных температур:  $T_f \approx 42$  К,  $T_x \approx 97$  К,  $T_{rev} \approx 98$  К,  $T_{mo} \approx 59$  К. Наличие критической температуры расходимости  $T_x$  фиксируется только до полей  $H \leq 200$  Э. При дальнейшем увеличении поля до 500 Э пик ZFC-кривой округляется и смещается к  $T_f \approx 39$  К (рис. 2б). Температура расходимости ZFC- и FC-кривых составляет  $T_{rev} \approx 82$  К. Температурный гистерезис FC-кривых и температура расходимости  $T_x$  отсутствуют. Уменьшение температур замерзания  $T_f$  и расходимости  $T_{rev}$  свидетельствует о дроблении ферромагнитных кластеров с увеличением внешнего магнитного поля. Хотя в целом объем ферромагнитных взаимодействий возрастает, что можно установить по шкале удельного магнитного момента (ось ординат рис. 2б). Отсутствие температурного гистерезиса FC-кривых и температуры расходимости  $T_x$  указывает на изменение характера совместного влияния температуры и поля. Теперь уже доминирует упорядочивающий эффект магнитного поля над разупорядочивающим



**Рис. 3.** Температурные зависимости удельного магнитного момента, измеренного в режимах ZFC и FC, при уменьшении и увеличении температуры в поле 4 кЭ (а) и 10 кЭ (б) для  $\text{La}_{0.70}\text{Sr}_{0.30}\text{MnO}_{2.85}$ . Смысл указанных характерных температур объяснен в тексте. Вставка демонстрирует температурную зависимость производной FC-кривой в режиме увеличения температуры

эффектом температуры. Переход в парамагнитное состояние остается размытым. Температура магнитного упорядочения возрастает до  $T_{mo} \approx 66$  К. В поле 2000 Э характерные температуры составляют:  $T_f \approx 37$  К,  $T_{rev} \approx 54$  К,  $T_{mo} \approx 84$  К. В поле 4000 Э пик ZFC-кривой значительно округляется и находится при  $T_f \approx 33$  К (рис. 3а). Температура расходимости ZFC- и FC-кривых составляет  $T_{rev} \approx 40$  К. Температурный гистерезис FC-кривых и температура расходимости  $T_x$  отсутствуют. Уменьшение температур замерзания  $T_f$  и расходимости  $T_{rev}$  подтверждает предположение о дроблении ферромагнитных кластеров с увеличением внешнего магнитного поля. Температура магнитного упорядочения в



**Рис. 4.** Зависимости критических температур, характеризующих магнитное состояние  $\text{La}_{0.70}\text{Sr}_{0.30}\text{MnO}_{2.85}$ , от внешнего магнитного поля: *a* — температура магнитного упорядочения  $T_{mo} = 57 + 10^{-2}H - 5 \cdot 10^{-7}H^2$  (•), *б* — температуры расходимости ZFC- и FC-кривых  $T_x = 99 - 7 \cdot 10^{-3}H$  (■) и  $T_{rev} = 250 - 90H^{0.11}$  (+), *в* — температура замерзания  $T_f = 65 - 6H^{0.21}$  (▲)

этом случае составляет  $T_{mo} \approx 103$  К.

При измерении в сильных магнитных полях  $H > 10^4$  Э наблюдается отсутствие пика ZFC-кривой. Небольшое различие между ZFC- и FC-кривыми в поле 100 кЭ заметно ниже температуры расходимости  $T_{rev} \approx 25$  К (рис. 3б). Переход в парамагнитное состояние еще более размытается, а температура магнитного упорядочения значительно возрастает и составляет  $T_{mo} \approx 146$  К.

### 3.3. Анализ магнитных данных

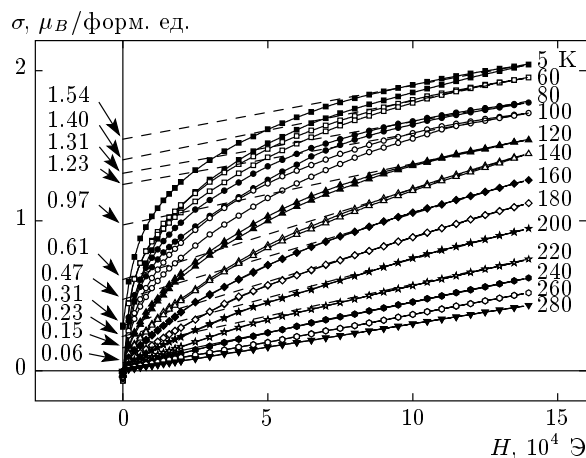
Обобщенные экспериментальные данные критических температур переходов в зависимости от

внешнего магнитного поля и их модельный анализ представлены на рис. 4. Увеличение магнитного поля приводит к монотонному увеличению температуры магнитного упорядочения  $T_{mo}$ . Эта зависимость может быть удовлетворительно описана полиномом  $T_{mo} = A + BH + CH^2$ , с коэффициентами  $A = 57$  К,  $B = 10^{-2}$  К · Э<sup>-1</sup> и  $C = -5 \cdot 10^{-7}$  К · Э<sup>-2</sup> (рис. 4а). Температуры расходимости ZFC- и FC-кривых,  $T_x$  и  $T_{rev}$ , монотонно убывают с ростом поля. Зависимость  $T_x(H)$  может быть описана линейной функцией вида  $T_x = y + kH$ , где  $y = 99$  К и  $k = -7 \cdot 10^{-3}$  К · Э<sup>-1</sup> (рис. 4б). Температура  $T_{rev}$  быстро убывает до  $H \approx 10^3$  Э, затем ее уменьшение более плавное. Для  $T_{rev}$  экспериментальные точки могут быть описаны степенной функцией  $T_{rev} = a + bH^n$  с  $a = 250$  К,  $b = -90$  К · Э<sup>-n</sup> и  $n = 0.11$  ( $T_{rev}$  в кельвинах,  $H$  в эрстедах) (рис. 4б). Температура замерзания  $T_f$  постепенно убывает (хотя и не совсем монотонно) с ростом поля, что качественно можно представить такой же, как для  $T_{rev}$ , степенной функцией с  $a = 65$  К,  $b = -6$  К · Э<sup>-n</sup> и  $n = 0.21$  (рис. 4в).

### 3.4. Упорядоченный магнитный момент

Для стехиометрического манганита  $\text{La}_{0.70}\text{Sr}_{0.30}\text{MnO}_3$  максимальное значение упорядоченного атомного магнитного момента, приходящегося на один ион марганца, составляет  $3.7\mu_B$ . Для анион-дефицитного образца  $\text{La}_{0.70}\text{Sr}_{0.30}\text{MnO}_{2.85}$ , номинально содержащего только  $\text{Mn}^{3+}$ , в случае полной поляризации может наблюдаться атомный магнитный момент равный  $4\mu_B$ .

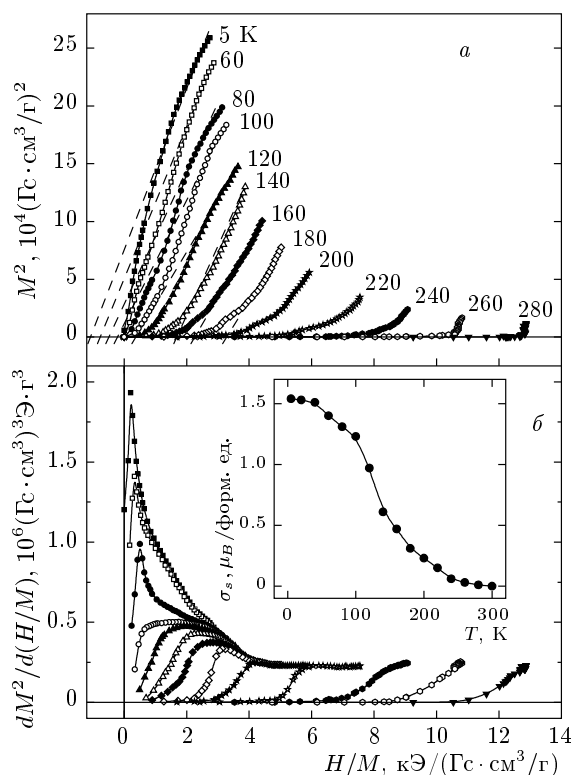
Измерение полевых изотерм магнитного момента проводилось следующим образом. Вначале образец был охлажден в отсутствие внешнего магнитного поля до самой низкой температуры 5 К. Затем были выполнены последовательные измерения магнитного момента в режиме увеличения и уменьшения поля. Это часто используемый алгоритм для исследования полевых свойств [22]. Измерялась только половина петли, т. е. от нуля до +14 Тл и до нуля. После этого температура увеличивалась и цикл повторялся заново. Процесс намагничивания состоит из трех этапов: 1) увеличение размеров энергетически более выгодных доменов, 2) поворот суммарного магнитного момента энергетически менее выгодных доменов и 3) парапроцесс. Парапроцесс заключается в постепенном увеличении суммарного магнитного момента однодоменного образца с увеличением поля. Спонтанный магнитный момент самопроизвольно намагниченного однодоменного образ-



**Рис. 5.** Полевые зависимости изотерм магнитного момента марганца в интервале температур 5–280 К для  $\text{La}_{0.70}\text{Sr}_{0.30}\text{MnO}_{2.85}$ . На графике указаны значения спонтанного атомного магнитного момента, полученные при линейной экстраполяции зависимостей к нулевому полю

ца наблюдается в отсутствие внешнего магнитного поля. Поэтому линейная экстраполяция высокополевых значений магнитного момента к нулевому полю в некотором приближении дает спонтанный момент марганца. Такая процедура часто используется для определения спонтанного магнитного момента [23].

В то время как действие внешнего магнитного поля в интервале слабых полей приводит, в основном, к дроблению ферромагнитных кластеров, действие поля в интервале сильных полей приводит к переходу в ферромагнитное состояние антиферромагнитной матрицы и увеличению степени поляризации магнитных моментов марганца. Так, при  $T = 5$  К в поле 100 кЭ атомный магнитный момент в  $\text{La}_{0.70}\text{Sr}_{0.30}\text{MnO}_{2.85}$  равен  $1.96\mu_B$ , что составляет 48 % от теоретически возможного при полной поляризации локальных спинов ионов марганца (рис. 5). В поле 140 кЭ степень поляризации достигает 53 %. Фактически матрица становится ферромагнитной, а кластеры — антиферромагнитными. Дополнительная магнитная энергия стабилизирует поляризованное состояние ферромагнитной матрицы и увеличивает температуру магнитного упорядочения. В интервале температур 5–120 К, т. е. ниже температуры магнитного упорядочения, наблюдается значительный полевой гистерезис, что свидетельствует о высокой магнитной анизотропии, установленной ранее по температурному гистерезису FC-кривых обменных взаимодействий внутри ферромагнитных кластеров.



**Рис. 6.** Графики Арротта — зависимости квадрата удельного магнитного момента  $M^2$  от величины  $H/M$  при разных температурах (а) и их производные (б) при разных температурах для  $\text{La}_{0.70}\text{Sr}_{0.30}\text{MnO}_{2.85}$ . Вставка демонстрирует зависимость спонтанного атомного магнитного момента марганца от температуры, полученную экстраполяцией к нулевому полю изотерм магнитного момента

### 3.5. Природа магнитного состояния в $\text{La}_{0.70}\text{Sr}_{0.30}\text{MnO}_{2.85}$

Природу фазового перехода в  $\text{La}_{0.70}\text{Sr}_{0.30}\text{MnO}_{2.85}$  из парамагнитного в частично упорядоченное состояние можно понять, используя магнитный критерий, предложенный Банерджи [21]. Для уточнения характера поведения исследуемой магнитной системы при переходе были построены полевые изотермы удельного магнитного момента и графики Арротта  $M^2(H/M)$  при  $T = \text{const}$  [24] (рис. 6а). В приближении теории молекулярного поля для основного состояния системы квадрат намагниченности  $M^2$  прямо пропорционален отношению  $H/M$  (см., например, [25]). Это соотношение строго выполняется в больших магнитных полях, близких к полям насыщения. Для малых полей наблюдается отклонение от линейного пове-

дения. Отрицательное значение точки пересечения линейной экстраполяции изотерм Аррота с осью абсцисс указывает на ферромагнитные корреляции в системе, в то время как положительное значение соответствует парамагнитному состоянию.

Согласно критерию Банерджи, положительное значение тангенса угла наклона касательной к изотермам Аррота в любой точке в ферромагнитном состоянии определяет магнитный фазовый переход второго рода, в то время как изменение знака тангенса угла наклона касательной с положительно-го на отрицательный указывает на фазовый переход первого рода. Положительное значение тангенса угла наклона касательной соответствует возрастанию изотермы Аррота или, соответственно, положительным значениям производных  $d(M^2)/d(H/M)$ , показанных на рис. 6б. Таким образом, можно сделать вывод, что магнитный фазовый переход в парамагнитное состояние для  $\text{La}_{0.70}\text{Sr}_{0.30}\text{MnO}_{2.85}$  является термодинамическим фазовым переходом второго рода.

Спиновое стекло — магнитное состояние вещества с особыми свойствами, важнейшим из которых является наличие фрустрированных связей, т. е. несоответствие взаимной ориентации магнитных моментов и знаков их обменных взаимодействий. Условия для формирования состояния спинового стекла возникают, если в системе имеет место случайное распределение величин и знаков обменных взаимодействий. Для классического спинового стекла действие внешнего магнитного поля вызывает переход в ферромагнитное состояние и изменяет температуру расходимости ZFC- и FC-кривых удельного магнитного момента по степенному закону  $T_{rev} = a + bH^n$  с показателем степени  $n = 2/3$ . Поскольку для  $\text{La}_{0.70}\text{Sr}_{0.30}\text{MnO}_{2.85}$  получено значение  $n = 0.11 < 2/3$ , следует говорить о формировании в нем кластерного спинового стекла [4]. Этот критерий часто используется для установления природы и механизма формирования неоднородного магнитного состояния для разных систем [26].

#### 4. ВЫВОДЫ

Прецизионные нейтронные дифракционные данные и результаты измерения удельного магнитного момента в широком интервале температур и внешних магнитных полей в различных режимах позволили установить природу магнитного состояния манганита  $\text{La}_{0.70}\text{Sr}_{0.30}\text{MnO}_{2.85}$ . При кластеризации содержащихся в нем вакансий

кислорода происходит расслоение на две структурные фазы с сильной конкуренцией ферро- и антиферромагнитных взаимодействий между магнитными моментами Mn. В результате возникает новое магнитное состояние — кластерное спиновое стекло, что отчетливо прослеживается в полевых зависимостях характерных температур: магнитного упорядочения, замерзания магнитных моментов и расходимости ZFC- и FC-кривых.

Авторы благодарны И. А. Бобрикову и В. Г. Симкину за помощь в проведении нейтронных дифракционных экспериментов. Работа выполнена при частичной финансовой поддержке РФФИ (гранты №№ 10-02-90902, 11-02-90900).

#### ЛИТЕРАТУРА

1. L. P. Gor'kov and V. Z. Kresin, Phys. Rep. **400**, 149 (2004).
2. E. Dagotto, Science **309**, 257 (2005).
3. S. F. Edwards and P. W. Anderson, J. Phys. F: Metal Phys. **5**, 965 (1975).
4. B. Sherrington and S. Kirkpatrick, Phys. Rev. Lett. **35**, 1792 (1975).
5. J. M. De Teresa, M. R. Ibarra, J. Garcia et al., Phys. Rev. Lett. **76**, 3392 (1996).
6. A. Sundaresan, A. Maignan, and B. Raveau, Phys. Rev. B **55**, 5596 (1997).
7. T. Terai, T. Kakeshita, T. Fukuda et al., Phys. Rev. B **58**, 14908 (1998).
8. A. Maignan, A. Sundaresan, U. V. Varadaraju, and B. Raveau, J. Magn. Magn. Mater. **184**, 83 (1998).
9. С. В. Труханов, М. В. Бушинский, И. О. Троянчук, Г. Шимчак, ЖЭТФ **126**, 874 (2004).
10. С. В. Труханов, И. О. Троянчук, А. В. Труханов и др., Письма в ЖЭТФ **83**, 36 (2006).
11. С. В. Труханов, ЖЭТФ **127**, 107 (2005).
12. A. M. Balagurov, Neutron News **16**, 8 (2005).
13. V. B. Zlokazov and V. V. Chernyshev, J. Appl. Cryst. **25**, 447 (1992).
14. С. В. Труханов, И. О. Троянчук, А. В. Труханов и др., Письма в ЖЭТФ **84**, 310 (2006).
15. D. D. Cuong, B. Lee, K. M. Choi et al., Phys. Rev. Lett. **98**, 115503 (2007).

16. А. М. Балагуров, А. А. Захаров, В. Ю. Помякушин и др., Письма в ЖЭТФ **64**, 254 (1996).
17. С. В. Труханов, ЖЭТФ **128**, 597 (2005).
18. K. R. Poeppelmeier, M. E. Leonowicz, and J. M. Longo, J. Sol. St. Chem. **44**, 89 (1982).
19. I. O. Troyanchuk, D. D. Khalyavin, S. V. Trukhanov et al., Письма в ЖЭТФ **70**, 583 (1999).
20. C. P. Bean and J. D. Livingstone, J. Appl. Phys. **30**, S120 (1959).
21. S. K. Banerjee, Phys. Lett. **12**, 16 (1964).
22. S. V. Trukhanov, L. S. Lobanovski, M. V. Bushinsky, V. A. Khomchenko et al., The Eur. Phys. J. B **42**, 51 (2004).
23. S. V. Trukhanov, A. V. Trukhanov, C. E. Botez, A. H. Adair et al., J. Phys.: Condens. Matter. **19**, 266214 (2007).
24. A. Arrott and J. E. Noakes, Phys. Rev. Lett. **19**, 786 (1967).
25. Ч. Киттель, *Введение в физику твердого тела*, Физматгиз, Москва (1962), с. 298.
26. H. Szymczak, R. Szymczak, M. Baran, and J. Fink-Finowicki, J. Magn. Magn. Mater. **272–276**, 1327 (2004).